

## 单极磁场响应线性霍尔传感器

### 1. 产品特性

- 模拟输出线性霍尔传感器
- 单极磁场响应，宽输出范围
- 快速上电启动 < 1us
- 单电流源输出
- 低噪声输出，无需输出滤波
- -40°C至105°C环境温度范围
- SOT23-3L封装形式

### 2. 典型应用

- 键盘应用
- 线性扳机
- 开合检测
- 游戏按键

### 3. 产品描述

SC4015 是一款线性霍尔效应传感器芯片，其输出电压与电源电压和它所感应的磁场强度成正比。

SC4015 的零点输出电压(无磁场)默认为电源电压的 66%，在 5.0V 电源电压下的典型灵敏度为 3.9mV/Gs，在 3.3V 电源电压下的典型灵敏度为 2.0mV/Gs。

芯片的典型工作电压为 3.3V 或 5.0V，极限电压可达 25V，工作温度范围支持 -40°C-105°C，适用于商业、消费和工业领域。

此产品为 3 引脚 SOT-23-3L 封装；封装材料无铅，100% 雾锡框架电镀。

Not To Scale



图1. SOT23-3L封装示意图

## 目录

1. 产品特性 .....	1	9. 工作参数 .....	6
2. 典型应用 .....	1	10. 功能框图 .....	7
3. 产品描述 .....	1	11. 功能描述 .....	7
4. 引脚定义 .....	3	12. 典型应用 .....	8
5. 订购信息 .....	4	13. 封装信息 “SOT23-3L(SO)” .....	9
5.1. 订购信息格式说明 .....	4	14. 历史版本 .....	10
6. 极限参数 .....	5		
7. 静电保护 .....	5		
8. 热特性 .....	5		

## 4. 引脚定义

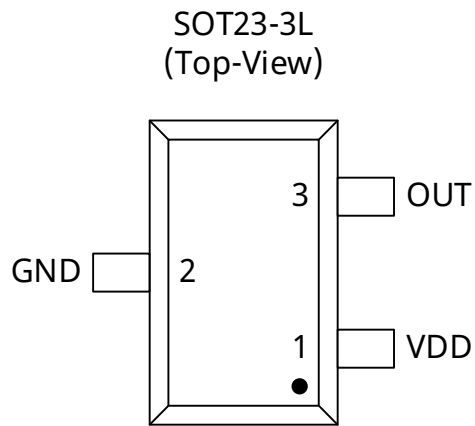


图 2. SOT23-3L 封装俯视图

名称	SOT23-3L	描述
VDD	1	电源，建议此引脚连接到一个电容值至少为 0.1 $\mu$ F 的接地电容器
GND	2	地
OUT	3	输出端

## 5. 订购信息

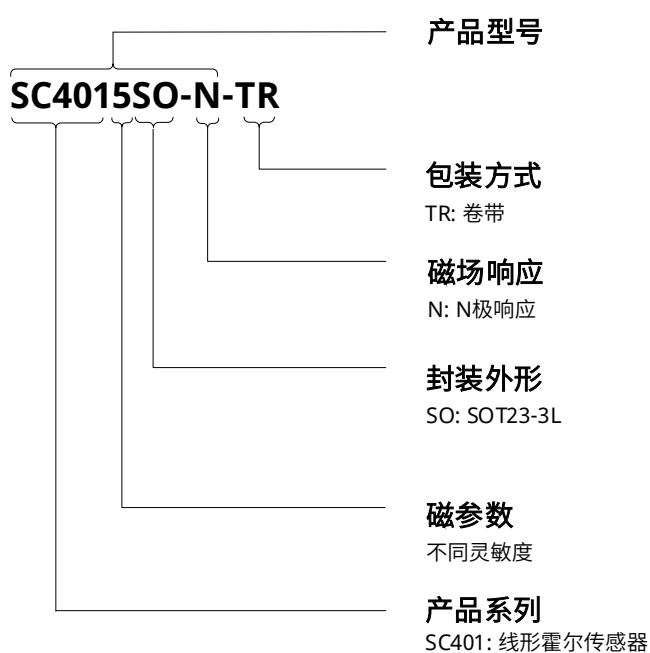
产品名称	灵敏度(mV/Gs) <sup>(1)</sup>	工作温度(°C)	封装形式	包装形式	数量
SC4015SO-N-TR <sup>(2)</sup>	2.0	-40-105	SOT23-3L	卷盘	3000 颗/盘

备注:

(1) 此灵敏度数据均为 3.3v 应用条件下

(2) TR: Tape & Reel, 卷盘包装

### 5.1. 订购信息格式说明



## 6. 极限参数

符号	参数	测试条件	最小值	最大值	单位
$V_{CC}$	电源端耐压	$B = 0mT, T_A = 25^{\circ}C$	-0.3	25.0	V
$V_{OUT}$	输出端耐压		-0.3	25.0	V
$I_{CC}$	电源电流	$V_{CC} = 5.0V, B = 0mT$	-	15	mA
$I_{OUT}$	输出电流		-	2	mA
$T_A$	工作温度范围		-40	105	$^{\circ}C$
$T_J$	结温范围		-50	165	$^{\circ}C$
$T_{STG}$	储存温度范围		-65	165	$^{\circ}C$

备注:

以上列出的应力可能会对器件造成永久性的损害, 长时间暴露在绝对最大额定值条件下可能会影响器件的可靠性。

## 7. 静电保护

符号	参数	最小值	最大值	单位
$V_{ESD}$	人体失效模型, 参考 ANSI/ESDA/JEDEC JS-001 标准 (HBM) <sup>(1)</sup>	-4	+4	KV
	充放电失效模型, 参考 ANSI/ESDA/JEDEC JS-002 标准 (CDM) <sup>(2)</sup>	-750	+750	V

备注:

(1) JEDEC 文件 JEP155 指出, 4000V HBM 允许使用标准 ESD 控制过程进行安全制造。

(2) JEDEC 文件 JEP157 指出, 750V CDM 允许使用标准 ESD 控制过程进行安全制造。

## 8. 热特性

符号	参数	测试条件	值 <sup>(1)</sup>	单位
$R_{\theta JA}$	SOT23-3L 封装形式热阻	单层 PCB, JEDEC 2s2p 和 1s0p 分别在 JESD 51-7 和 JESD 51-3 中定义	313	$^{\circ}C/W$

备注:

(1) 最大工作电压必须满足功耗和结温的要求, 参照热特性

## 9. 工作参数

(工作电压范围 2.5V to 5.5V, 环境温度 -40°C to 105°C, 另有说明除外)

符号	参数	测试条件	最小值	典型值	最大值	单位
$V_{CC}$	工作电压	$T_J < T_{J(Max)}$	2.2	5.0	5.5	V
$I_{CC}$	工作电流	$V_{CC}=5.0V, T_A=25^\circ C$	-	2.5	6.0	mA
$R_L$	输出负载电阻	OUT to GND	4	-	-	k $\Omega$
$V_{OUT(H)}$	输出电压范围	$V_{CC}=5V, T_A=25^\circ C, B=1000Gs$	4.0	4.3	-	V
		$V_{CC}=3.3V, T_A=25^\circ C, B=1000Gs$	2.3	2.6	-	V
$V_{OUT(L)}$		$V_{CC}=5V, T_A=25^\circ C, B=-1000Gs$	0.75	0.8	0.95	V
		$V_{CC}=3.3V, T_A=25^\circ C, B=-1000Gs$	0.75	0.8	0.95	V
$V_{OUT(Q)}$	静态输出电压	$V_{CC}=5V, B=0Gs, T_A=25^\circ C$	-	3.15	-	V
		$V_{CC}=3.3V, B=0Gs, T_A=25^\circ C$	-	2.2	-	V
S	灵敏度	$V_{CC}=5V, T_A=25^\circ C$	3.3	3.9	4.5	mV/Gs
		$V_{CC}=3.3V, T_A=25^\circ C$	1.7	2.0	2.3	mV/Gs
$T_{RESP}$	响应时间	Delay the output signal reaching 90%	-	1	-	$\mu s$
$T_{PO}$	上电时间		-	-	0.8	$\mu s$

## 10. 功能框图

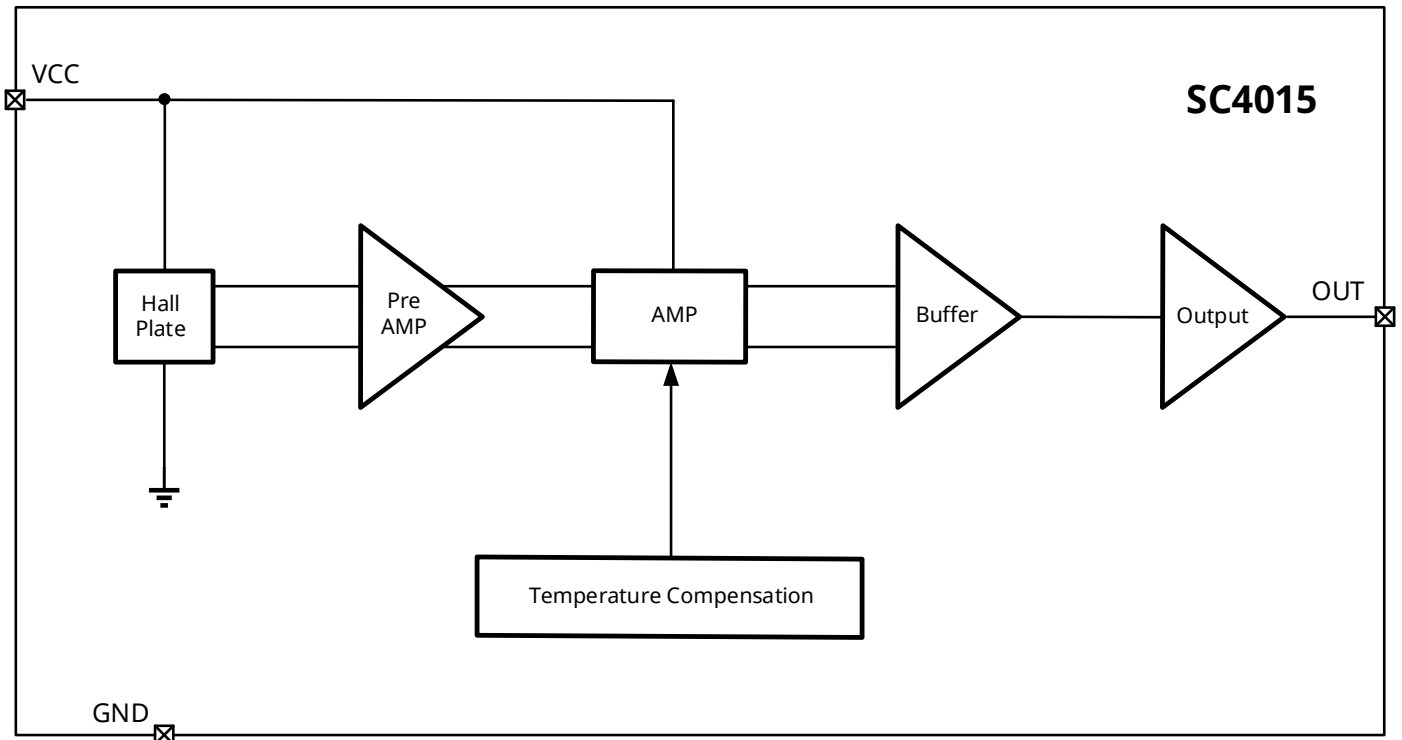


图 3. 功能框图概览

## 11. 功能描述

**磁场定义：**SOT23-3L(SO)封装，磁场 S 极正对芯片丝印面定义为负磁场。

**静态输出电压( $V_{OUT(Q)}$ ):**“静态输出电压”指无磁场时芯片的输出电压。

**灵敏度 (S)**

$$Sens = [VOUT(B1) - VOUT(B2)] / (B1 - B2)$$

当垂直于芯片丝印侧的南极磁场接近时，输出电压成比例增加，直到达到电源电压。相反，当垂直于芯片丝印侧的北极磁场接近时，输出电压成比例降低，直到达到地电平。灵敏度定义为输出电压变化和磁场变化的具体数值，一般以 mV/Gs 或 mV/mT 为单位。

## 12. 典型应用

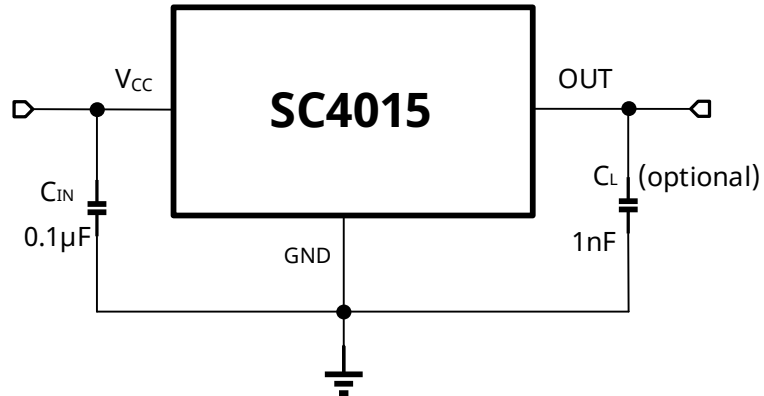


图 4. 典型应用线路图

当电源电压为 5V 时，芯片的静态(零磁场强度)输出电压  $V_Q$  通常在 3.15V 左右，电源电压为 3.3V 时， $V_Q$  通常在 2.1V 左右。对于 SO 封装形式，当垂直于芯片丝印表面的 N 极磁场增大时，芯片的输出电压成比例增大。相反，当 S 电极作用于芯片的丝印表面时，输出电压以相同的比例同步下降。该芯片在室温下最大输出电压为  $V_{CC} - 0.7V$ ，最小输出电压为 0.8V，其中线性范围为 0.8V - 4.2V。

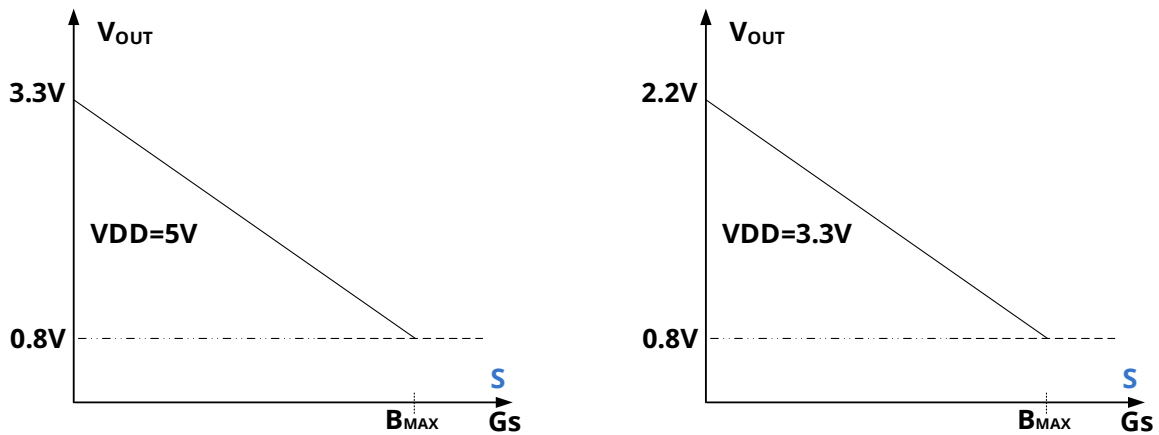
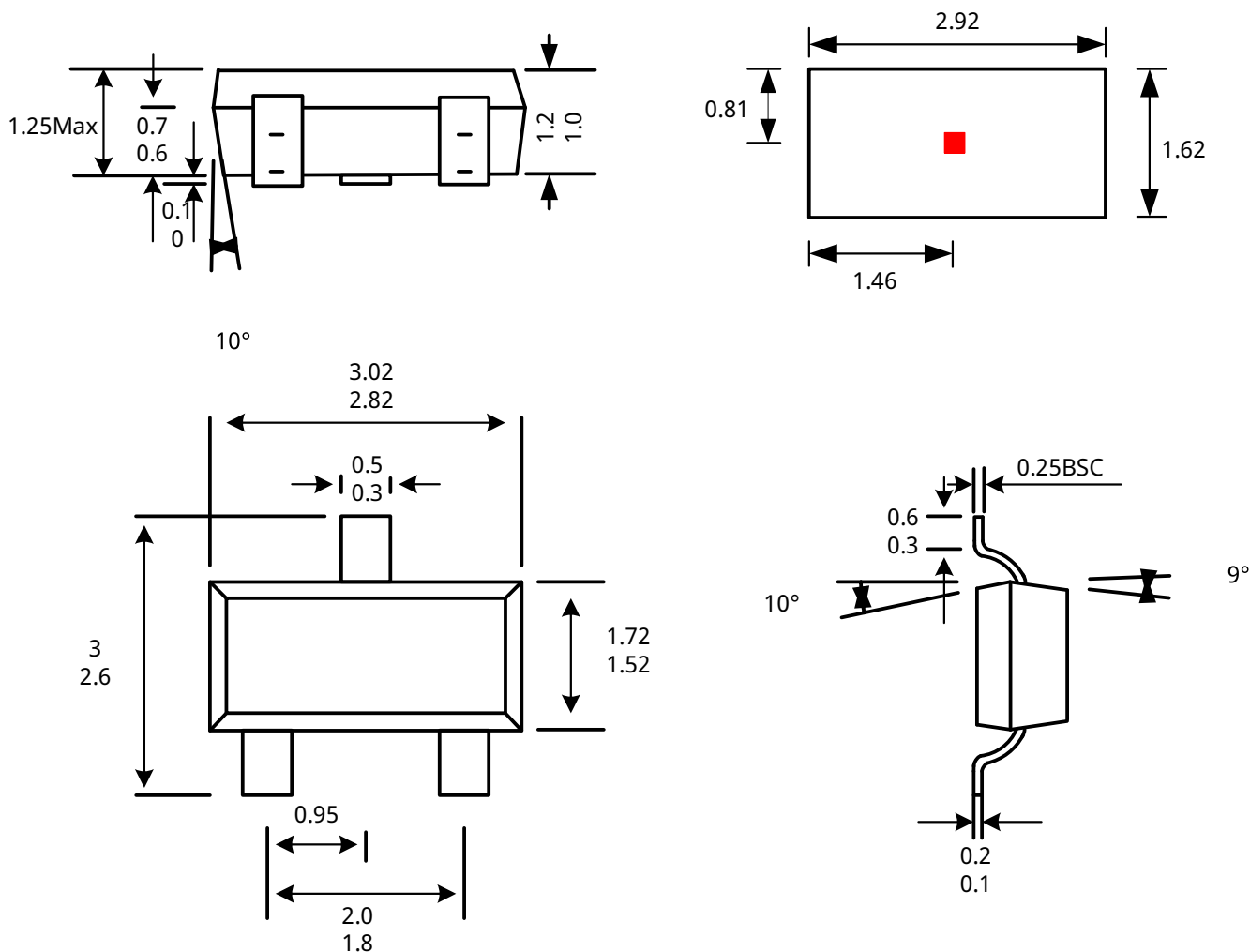


图 5. SOT23-3L 封装形式输出曲线

### 13. 封装信息 “SOT23-3L(SO)”

3-脚  
SOT23-3L 封装

单位：mm



注:

1. 供应商可选的实际本体和管脚形状尺寸位于图示范围内。
  2. 高度不包括模具浇口溢料。
- 如果未指定公差，则尺寸为公称尺寸。

## 14. 历史版本

版本	日期	描述
Rev.E0.1	2024-07-25	初始规格书
Rev.A1.0	2024-11-27	正式版发布